

Электронное приложение 1

Фотографии растений и их местообитаний



Рис. 1. *Heliotropium arguzioides* Kar. et Kir. на дюнных песках (1) и *H. ellipticum* Ledeb. на пестроцветах (2). Фото Н.Ю. Бешко.

Fig. 1. *Heliotropium arguzioides* Kar. et Kir. on dune sands (1) and *H. ellipticum* Ledeb. on variegated rocks (2). Photo by N.Yu. Beshko.



Рис. 2. *Ulugbekia tschimganica* (B. Fedrsch.) Zakirov в поясе полусаванн (1) и *Arnebia coerulea* Schipcz. в полынной пустыне (2). Фото Н.Ю. Бешко и С.В. Овчинниковой.

Fig. 2. *Ulugbekia tschimganica* (B. Fedrsch.) Zakirov in the semi-savannah belt (1) and *Arnebia coerulea* Schipcz. in the sagebrush desert (2). Photo by N.Yu. Beshko and S.V. Ovchinnikova.



Рис. 3. *Onosma gmelinii* Ledeb. в степи. Фото Ю.В. Овчинникова.

Fig. 3. *Onosma gmelinii* Ledeb. in the steppe. Photo by Yu.V. Ovchinnikov.



Рис. 4. *Echium biebersteinii* (Lacaita) Dobrocz. в поясе шибляка. Фото Н.Ю. Бешко.

Fig. 4. *Echium biebersteinii* (Lacaita) Dobrocz. in the shibliak belt. Photo by N.Yu. Beshko.



Рис. 5. *Caccinia macranthera* (Banks et Sol.) Brand на пестроцветах. Фото А.Ю. Королюка.

Fig. 5. *Caccinia macranthera* (Banks et Sol.) Brand on variegated rocks. Photo by A.Yu. Korolyuk.



Рис. 6. *Heterocaryum szovitsianum* (Fisch. & C.A.Mey.) A.DC. на каменистом склоне. Фото С.В. Овчинниковой.

Fig. 6. *Heterocaryum szovitsianum* (Fisch. & C.A. Mey.) A.DC. on a rocky slope. Photo by S.V. Ovchinnikova.



Рис. 7. *Asperugo procumbens* L. в поясе чернолесья. Фото С.В. Овчинниковой.

Fig. 7. *Asperugo procumbens* L. in the black forest belt. Photo by S.V. Ovchinnikova.



Рис. 8. *Rochelia cardiosepala* Bunge в поясе полусаванн. Фото С.В. Овчинниковой.

Fig. 8. *Rochelia cardiosepala* Bunge in the semi-savannah belt. Photo by S.V. Ovchinnikova.



Рис. 9. *Cynoglossum viridiflorum* Pall. ex Lehm. в плодах (1), *Solenanthus circinatus* Ledeb.: растение в поясе полусаванн (2), соцветие (3), плоды (4). Фото Ю.В. Овчинникова.

Fig. 9. *Cynoglossum viridiflorum* Pall. ex Lehm. in fruits (1), *Solenanthus circinatus* Ledeb.: plant in the semi-savannah belt (2), inflorescence (3), fruits (4). Photo by Yu.V. Ovchinnikov.



Рис. 10. *Solenanthus turkestanicus* (Regel & Smirn.) J.F.Macbr.: соцветие (1), плоды (2). Фото А.Ю. Королюка.

Fig. 10. *Solenanthus turkestanicus* (Regel & Smirn.) J.F. Macbr.: inflorescence (1), fruits (2). Photo by A.Yu. Korolyuk.



Рис. 11. *Rindera oblongifolia* Popov в поясе арчевников (1), соцветие (2), *Lindelofia macrostyla* (Bunge) Popov в поясе субальпийских лугов (3), соцветие и плоды (4). Фото Н.Ю. Бешко.

Fig. 11. *Rindera oblongifolia* Popov in the juniper belt (1), inflorescence (2), *Lindelofia macrostyla* (Bunge) Popov in the subalpine meadow belt (3), inflorescence and fruits (4). Photo by N.Yu. Beshko.



Рис. 12. Джизакская обл., хребет Нуратау, Нуратинский заповедник, урочище Хаятсай, галерейный орехово-плодовый лес в долине горной речки и ксерофильные кустарниковые редколесья (шибляк) на склонах. 14.04.2013. Фото Н.Ю. Бешко.

Fig. 12. Jizzakh region, Nuratau ridge, Nuratau nature reserve, Khayatsay tract, gallery walnut-fruit forest in the valley of a mountain river and xerophilous shrub woodlands (shibliak) on the slopes. 14.04.2013. Photo by N.Yu. Beshko.



Рис. 13. *Lappula nuratavica* Nabiev et Zakirov в расщелинах скал в Нуратау, верховья Тыкчасая. Фото Н.Ю. Бешко.

Fig. 13. *Lappula nuratavica* Nabiev et Zakirov in rock crevices in Nuratau, upper reaches of Tykchasay. Photo by N.Yu. Beshko.



Рис. 14. Западный Тянь-Шань. Ташкентская обл., Угам-Чаткальский нац. парк, Пскемский хр., уроцище Аксарсай, субальпийские высокотравные луга, около 2100 м н.у.м. 17.06.2021. Фото Н.Ю. Бешко.

Fig. 14. Western Tien Shan. Tashkent region, Ugam-Chatkal nat. park, Pskemsky Ridge, Aksarsay tract, subalpine tall grass meadows, about 2100 m a.s.l. 17.06.2021. Photo by N.Yu. Beshko.



Рис. 15. Западный Тянь-Шань, Большой Чимган. 05.09.2020. Фото Н.Ю. Бешко.

Fig. 15. Western Tien Shan, Big Chimgan. 05.09.2020. Photo by N.Yu. Beshko.

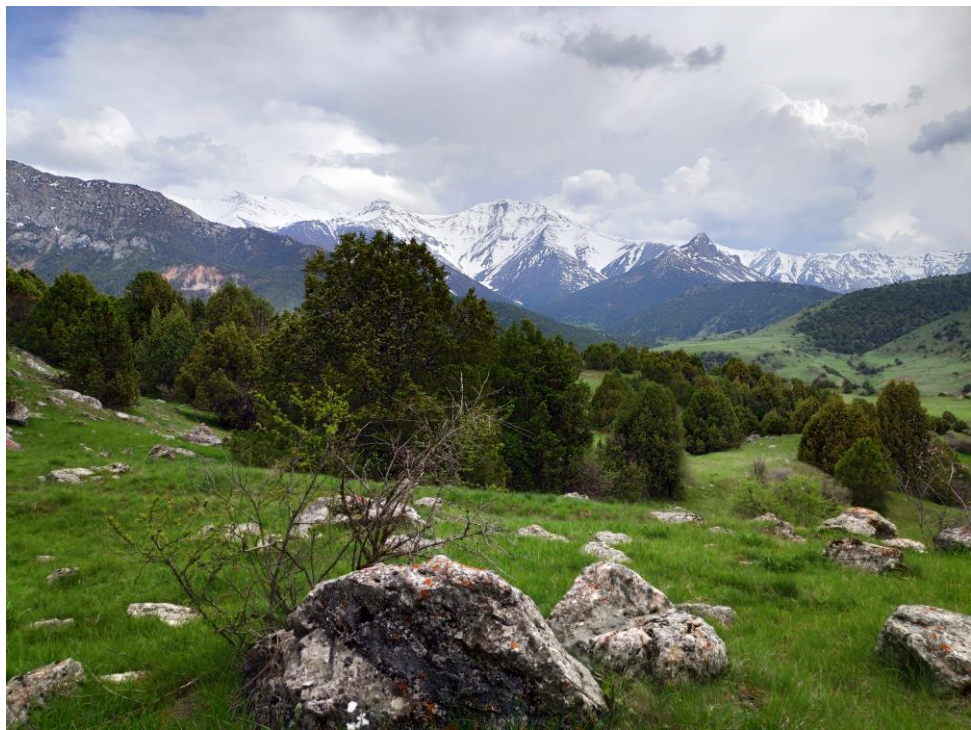


Рис. 16. Джизакская обл., Зааминский нац. парк, Туркестанский хребет, плато Супа, около 2200 м н.у.м. 10.05.2019. Фото Н.Ю. Бешко.

Fig. 16. Jizzakh region, Zaamin nat. park, Turkestan range, Supa plateau, about 2200 m a.s.l. 10.05.2019. Photo by N.Yu. Beshko.



Рис. 17. Джизакская обл., Зааминский нац. парк., Туркестанский хр., урочище Уриклисай, арчовники, около 1900 м н.у.м. 11.05.2019. Фото Н.Ю. Бешко.

Fig. 17. Jizzakh region, Zaamin nat. park, Turkestan Ridge, Uriklisay tract, juniper forests, about 1900 m above sea level. 11.05.2019. Photo by N.Yu. Beshko.



Рис. 18. Арчевники из *Juniperus seravschanica* Kom. на пестроцветах на северном склоне Гиссарского хребта в бассейне реки Лангар. Фото Н.Ю. Бешко.

Fig. 18. *Juniperus pseudosabina* Fisch. et C.A. May. on variegated rocks on the northern slope of the Hissar Range in the Langar River basin. Photo by N.Yu. Beshko.



Рис. 19. Джизакская обл., хребет Нурагау, Нуратинский заповедник, скальный массив Паррандас и ксерофильные кустарниковые редколесья (шибляк). 03.05.2011. Фото Н.Ю. Бешко.

Fig. 19. Jizzakh region, Nuratau ridge, Nuratau nature reserve, Parrandas rock massif and xerophilous shrub woodlands (shibliak). 03.05.2011. Photo by N.Yu. Beshko.



Рис. 20. Бухарская обл., Юго-Западный Кызылкум, останцовые горы Кульджуктау, выходы соленосных пестроцветных пород в окрестностях Кызылкумской пустынной станции Института ботаники АН РУз. 11.04.2021. Фото Н.Ю. Бешко.

Fig. 20. Bukhara region, Southwestern Kyzylkum, remnant mountains of Kuldzhuktau, outcrops of salt-bearing variegated rocks in the vicinity of the Kyzylkum desert station of the Institute of Botany of the Academy of Sciences of the Republic of Uzbekistan. 11.04.2021. Photo by N.Yu. Beshko.



Рис. 21. Сурхандарьинская обл., хребет Бабатаг, горы Бешарча, урочище Гармобулак, выходы гипсонасных пород, около 1500 м н.у.м. 25.05.2019. Фото Н.Ю. Бешко.

Fig. 21. Surkhandarya region, Babatag ridge, Besharch mountains, Garmobulak tract, outcrops of gypsum-bearing rocks, about 1500 m a.s.l. 25.05.2019. Photo by N.Yu. Beshko.



Рис. 22. Восточный чинк плато Устюрт. 03.10.2015. Фото Н.Ю. Бешко.

Fig. 22. Eastern chink of the Ustyurt plateau. 10.03.2015. Photo by N.Yu. Beshko.



Рис. 23. Сурхандарынская обл., предгорья хребта Байсунтау, окрестности кишилака Кофрун, растительность солянково-полынно-эфемероидная, около 700 м н.у.м. 05.06.2020. Фото Н.Ю. Бешко.

Fig. 23. Surkhandarya region, foothills of Baysuntai ridge, vicinity of Kofrun village, saltwort-wormwood-ephemeroid vegetation, about 700 m a.s.l. 05.06.2020. Photo by N.Yu. Beshko.



Рис. 24. Сурхандарьинская обл., предгорья хребта Байсунтау, окрестности кишлака Кофрун, растительность солянково-полынно-эфемероидная, около 700 м н.у.м. 05.06.2020. Фото Н.Ю. Бешко.

Fig. 24. Surkhandarya region, foothills of Baysuntau ridge, vicinity of Kofrun village, saltwort-wormwood-ephemeroid vegetation, about 700 m a.s.l. 05.06.2020. Photo by N.Yu. Beshko.